MONITORING GEODYNAMICZNY POLSKI
PAŃSTWOWA SŁUŻBA GEOLOGICZNA

PAŃSTWOWY INSTYTUT GEOLOGICZNY
PAŃSTWOWY INSTYTUT BADAWCZY

RAPORT MIESIĘCZNY nr 10/2026

ZA OKRES OD 01/10/2026 DO 31/10/2026 ROK

(PAŹDZIERNIK 2026)

Zawartość raportu:

Karta informacyjna – Aktywność sejsmiczna w październiku 2026 i okresie ostatnich 12 miesięcy: Polska, Europa, świat.

1. Monitoring aktywności sejsmicznej na obszarze Polski i w strefach przygranicznych
2. Aktywność sejsmiczna na kontynencie europejskim i w skali globalnej (wg danych EMSC)
3. Monitoring zmian pionowej składowej przyspieszenia siły ciężkości
4. Dodatek – poradnik
5. Lista załączników

realizacja projektu Monitoring Geodynamiczny Polski – etap V (MGP-V)

WYKONANO NA ZAMÓWIENIE MINISTRA KLIMATU I ŚRODOWISKA
ZA ŚRODKI FINANSOWE WYPŁACONE
PRZEZ NARODOWY FUNDUSZ OCHRONY ŚRODOWISKA I GOSPODARKI WODNEJ

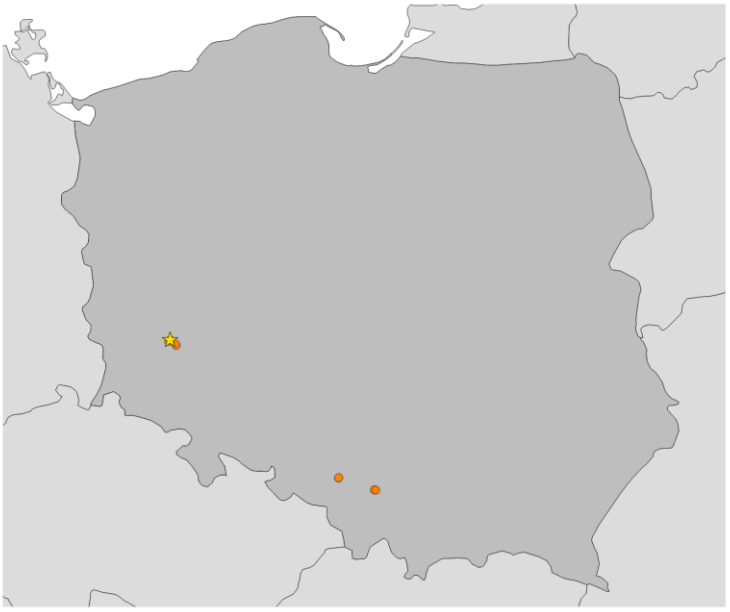
Warszawa 02/11/2026 r.

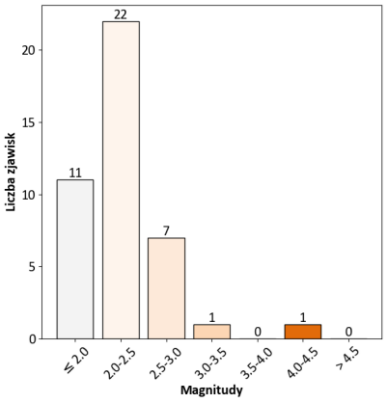
KARTA INFORMACYJNA RAPORTU

Aktywność sejsmiczna w sieci PSG Sejs NET oraz bazie danych EMSC

październik 2026: Polska, Europa, świat

POLSKA

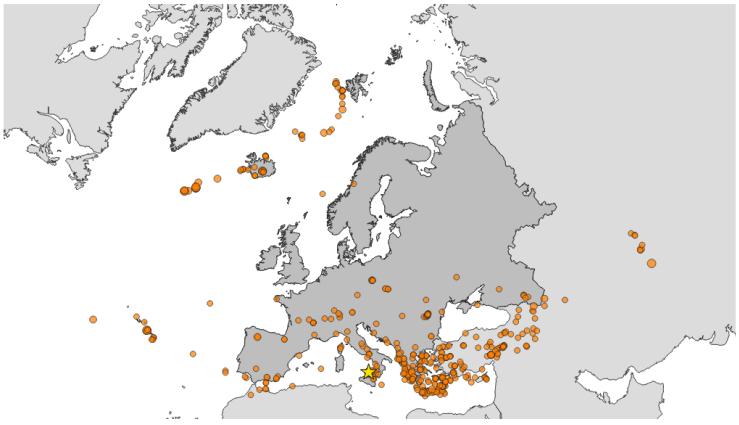




Wstrząsy odczuwalne:
9

Maksymalna magnituda:
4.1

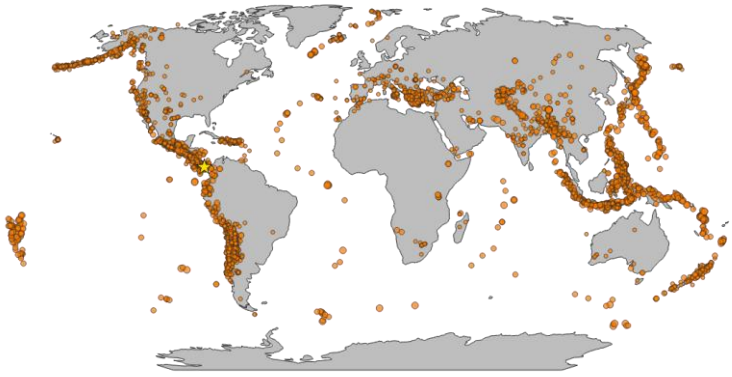
EUROPA



Wstrząsy odczuwalne:
622

Maksymalna magnituda:
5.7

ŚWIAT



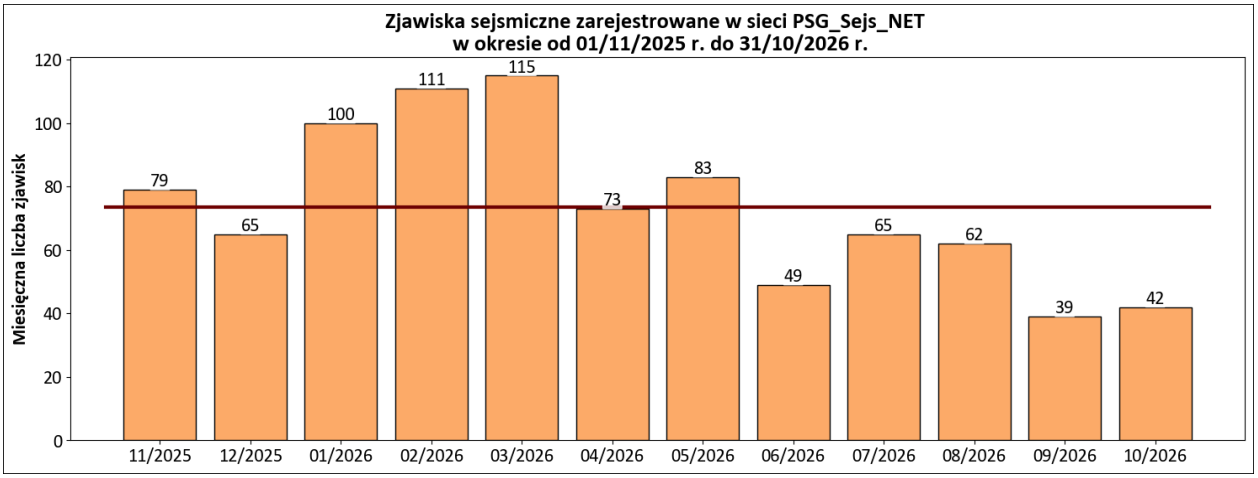
Wstrząsy odczuwalne:
7567

Maksymalna magnituda:
7.7

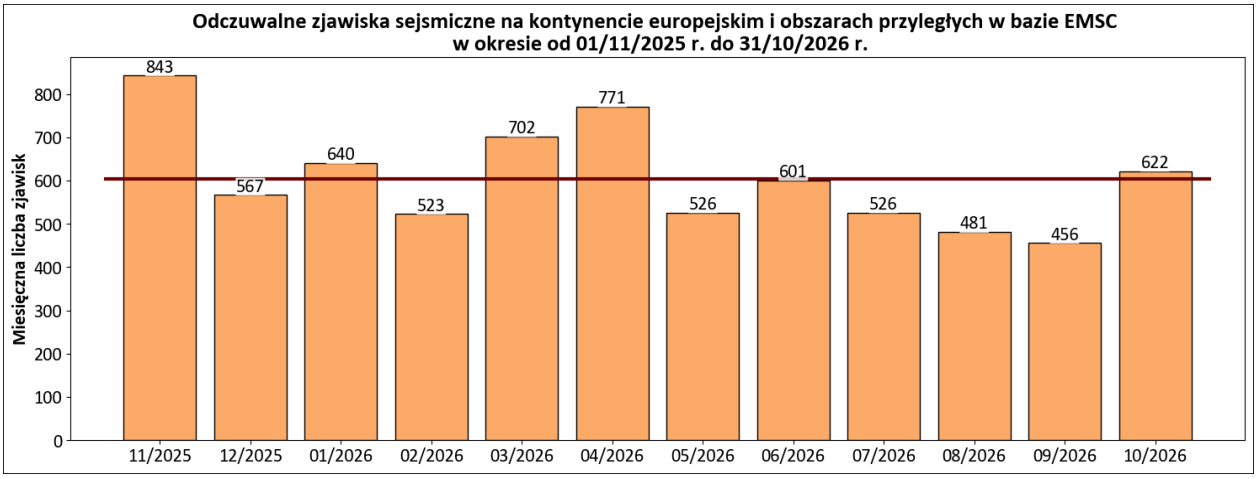
Legenda:
☆ zjawiska o najwyższych magnitudach ● zjawiska odczuwalne

Wyniki monitoringu aktywności sejsmicznej mierzonej miesięczną liczebnością zidentyfikowanych zjawisk sejsmicznych w sieci PSG_Sejs_NET oraz bazie danych EMSC w okresie ostatnich 12 miesięcy (listopad 2025 – październik 2026 r.).

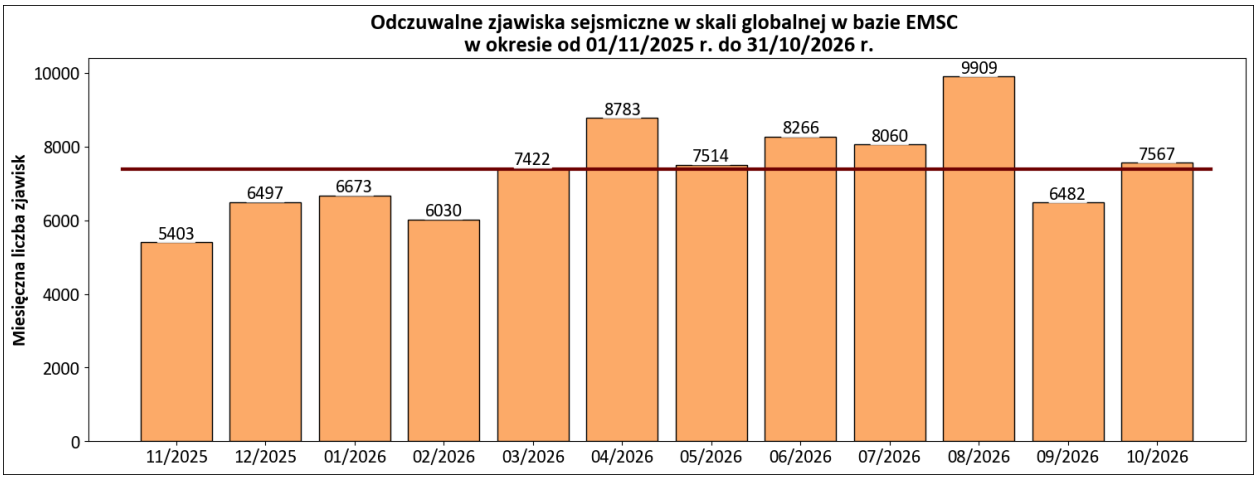
POLSKA



EUROPA



ŚWIAT



Legenda:

średnia miesięczna liczebność w okresie ostatnich 12 miesięcy

1. MONITORING AKTYWNOŚCI SEJSMICZNEJ NA OBSZARZE POLSKI I STREFIE PRZYGRANICZNEJ.

1.1. Sieć monitoringu aktywności sejsmicznej państwowej służby geologicznej – PSG_Sejs_NET.

Sieć monitoringu aktywności sejsmicznej państwowej służby geologicznej jest stale rozwijana i optymalizowana. W październiku 2026 r. w sieci PSG_Sejs_NET funkcjonowało 36 stacji sejsmicznych. Wśród nich są 34 stacje mobilne, wykorzystujące sejsmometry krótkookresowe i 2 stacje szerokopasmowe zainstalowane w stałych, terenowych laboratoriach geodynamicznych PSG w miejscowościach Dziwie, gm. Przedecz w powiecie kolskim oraz w Hołownie, gm. Podedwórze w powiecie parczewskim.

Do wykrywania i lokalizowania zjawisk sejsmicznych na terenie kraju, do sieci PSG_Sejs_NET zostało włączonych również 14 stacji mobilnych lokalnej Sudeckiej Sieci Sejsmologicznej (S9) utworzonej w ramach poprzedniego etapu projektu – MGP-IV. Ponadto do opracowań wykorzystywane są dane o otwartym dostępie z Polskiej Sieci Sejsmologicznej PLSN[1][2], z sieci MOravia NETwork (MONET)[3], wybranych stacji: Czeskiej Regionalnej Sieci Sejsmologicznej CRSN[4], Niemieckiej Regionalnej Sieci Sejsmologicznej GRSN[5], GEOFON[6], Słowackiej Narodowej Sieci Sejsmologicznej[7].

Docelowo monitoring sejsmiczny oparty będzie na 50 punktach obserwacyjnych PSG, przy zachowaniu takiej topologii sieci, która zagwarantuje zdolność detekcji naturalnych zjawisk sejsmicznych oraz zjawisk pochodzenia antropogenicznego na terytorium całego kraju, ze szczególnym uwzględnieniem obszarów podwyższonego ryzyka sejsmicznego.

Mapa lokalizacji stanowisk monitoringu sejsmicznego sieci PSG_Sejs_NET wraz z lokalizacjami stacji innych sieci, z których dane wykorzystywane są do wykonywanych opracowań przedstawiona została na **Rys 1**.

[1]Rudziński, Łukasz & Lasocki, Stanislaw & Orlecka-Sikora, Beata & Wiszniowski, Jan & Olszewska, Dorota & Kokowski, Jakub & Mirek, Janusz. (2021). Integrating Data under the European Plate Observing System from the Regional and Selected Local Seismic Networks in Poland. Seismological Research Letters. 92. 1717-1725. 10.1785/0220200354

[2]Institute of Geophysics, Polish Academy of Sciences. (1990). Polish Seismological Network [Data set]. International Federation of Digital Seismograph Networks. 10.7914/90rh-0q80

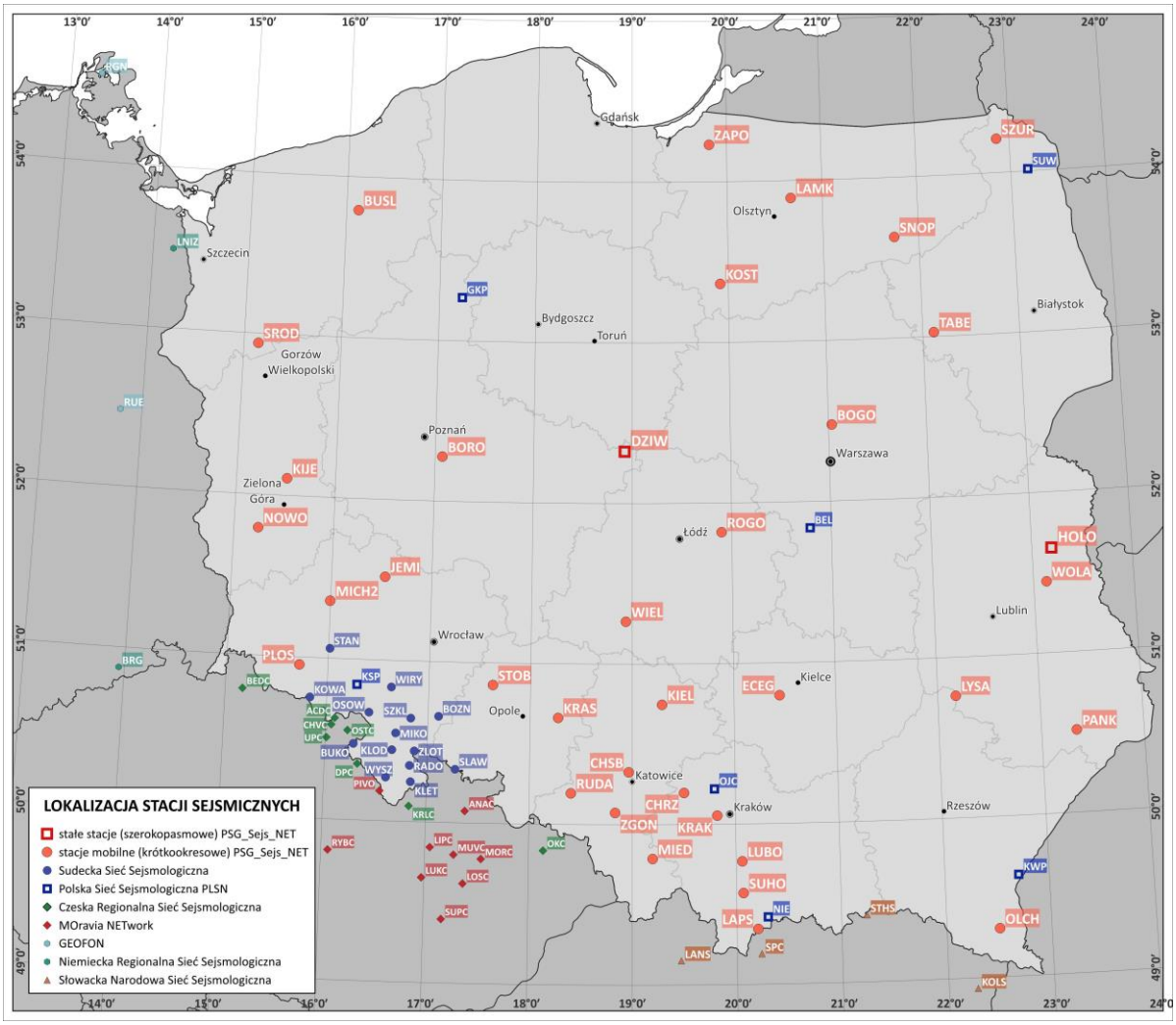
[3]Institute Of Physics Of The Earth Masaryk University Brno (IPE). (2017). MOravia NETwork (MONET) [Data set]. GFZ Data Services. https://doi.org/10.14470/Z6115722

[4]Charles University in Prague (Czech), Institute of Geonics, Institute of Geophysics, Academy of Sciences of the Czech Republic, Institute of Physics of the Earth Masaryk University (Czech), & Institute of Rock Structure and Mechanics. (1973). Czech Regional Seismic Network [Data set]. International Federation of Digital Seismograph Networks. https://doi.org/10.7914/SN/CZ

[5]Federal Institute for Geosciences and Natural Resources. (1976). German Regional Seismic Network (GRSN). Bundesanstalt für Geowissenschaften und Rohstoffe. https://doi.org/10.25928/mbx6-hr74

[6]GEOFON Data Centre. (1993). *GEOFON Seismic Network* [Data set]. GFZ Data Services. https://doi.org/10.14470/TR560404

[7]ESI SAS; Former GPI SAS (Geophysical Institute Of The Slovak Academy Of Sciences). (2004). National Network of Seismic Stations of Slovakia [Data set]. GFZ Data Services. https://doi.org/10.14470/FX099882



Rys. 1. *Mapa lokalizacji stacji sejsmicznych w sieci PSG_Sejs_NET wraz z lokalizacjami stacji innych sieci wykorzystywanych do opracowań (status aktualności 31/10/2026 r.).*

1.2. Lokalne zjawiska sejsmiczne zarejestrowane na terytorium Polski oraz w strefie przygranicznej w październiku 2026 r. w sieci PSG_Sejs_NET

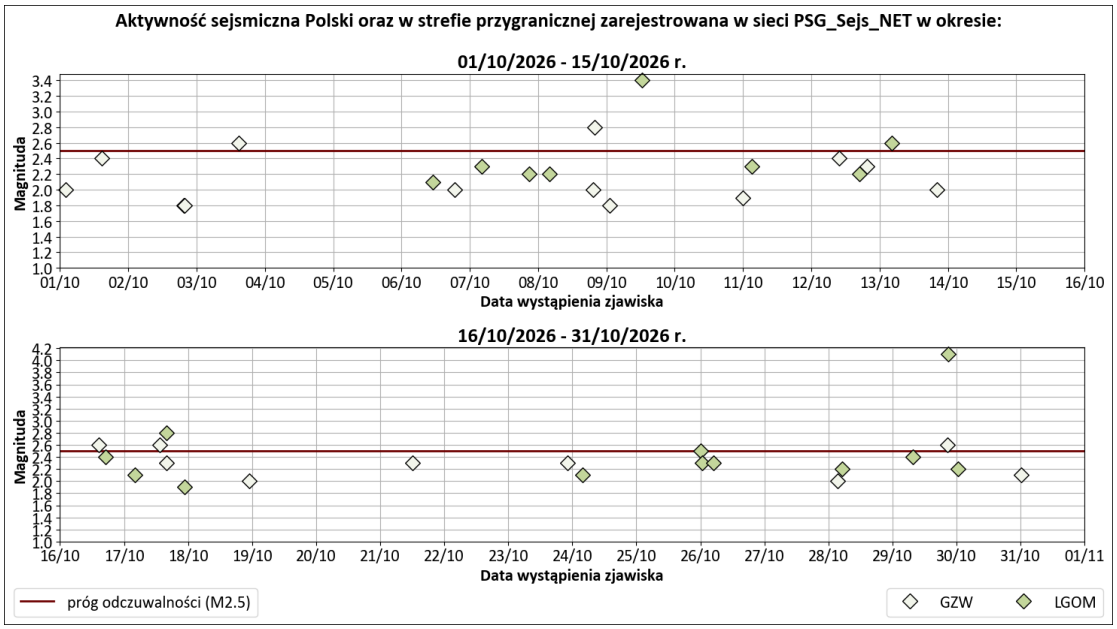
W październiku 2026 r. państwowa służba geologiczna zarejestrowała **42** lokalne zjawiska sejsmiczne na terenie Polski oraz w strefie przygranicznej. Były to zjawiska o zróżnicowanej magnitudzie od **M1.8** do **M4.1**. Epicentra zjawisk zlokalizowane były w regionach: Górnośląskiego Zagłębia Węglowego (GZW) oraz Legnicko-Głogowskiego Okręgu Miedziowego (LGOM). Lokalizacja zidentyfikowanych wstrząsów przedstawiona została na mapach **zał. 1** (epicentra zjawisk bieżących – październik 2026) i **zał. 2** (epicentra zjawisk zidentyfikowanych od 01/01/2025 r. narastająco, w trakcie realizacji V etapu projektu MGP).

Wykaz zidentyfikowanych i zweryfikowanych zjawisk sejsmicznych, które wystąpiły w październiku br. na terenie Polski oraz w strefie przygranicznej przedstawiono w tabeli (**Tab. 1**).

Tab. 1. *Lista zjawisk sejsmicznych zarejestrowanych w sieci PSG_Sejs_NET na terenie Polski oraz w strefie przygranicznej w okresie od 01/10/2026 do 31/10/2026 r.*

Lp.	Data & Czas (UTC)	Szer. geogr. [°]	Dług. geogr. [°]	Głęb. ogniska [km]	Mag.	Region
1	2026-10-01 01:57:14	49.98	18.59	1	2.0	GZW
2	2026-10-01 14:46:59	50.10	19.34	1	2.4	GZW
3	2026-10-02 19:28:07	50.07	18.46	1	1.8	GZW
4	2026-10-02 19:48:44	50.11	19.17	1	1.8	GZW
5	2026-10-03 14:47:56	50.09	19.32	1	2.6	GZW
6	2026-10-06 10:53:51	51.45	16.08	0.5	2.1	LGOM
7	2026-10-06 18:38:48	50.21	18.87	0.4	2.0	GZW
8	2026-10-07 04:19:14	51.54	16.17	0.7	2.3	LGOM
9	2026-10-07 20:48:12	51.51	16.13	1	2.2	LGOM
10	2026-10-08 04:04:35	51.54	16.16	1	2.2	LGOM
11	2026-10-08 19:21:12	50.21	18.74	1	2.0	GZW
12	2026-10-08 19:45:46	50.21	18.76	1	2.8	GZW
13	2026-10-09 01:00:31	50.08	19.28	1	1.8	GZW
14	2026-10-09 12:33:54	51.50	16.14	1	3.4	LGOM
15	2026-10-11 00:00:17	50.08	19.28	1	1.9	GZW
16	2026-10-11 02:59:26	51.55	16.16	1	2.3	LGOM
17	2026-10-12 09:48:18	50.11	19.33	1	2.4	GZW
18	2026-10-12 17:00:58	51.54	16.06	1	2.2	LGOM
19	2026-10-12 19:36:52	50.21	18.99	1	2.3	GZW
20	2026-10-13 04:12:24	51.54	16.02	1	2.6	LGOM
21	2026-10-13 20:05:24	50.08	19.28	1	2.0	GZW
22	2026-10-16 14:31:41	50.21	18.76	1	2.6	GZW
23	2026-10-16 17:00:56	51.57	16.06	1	2.4	LGOM
24	2026-10-17 03:57:15	51.55	16.09	1	2.1	LGOM
25	2026-10-17 13:15:26	50.09	19.32	1	2.6	GZW
26	2026-10-17 15:53:32	51.52	16.13	1	2.8	LGOM
27	2026-10-17 15:58:30	50.20	19.00	2.8	2.3	GZW
28	2026-10-17 22:40:57	51.43	16.24	1	1.9	LGOM
29	2026-10-18 22:49:34	50.07	18.45	1	2.0	GZW
30	2026-10-21 12:10:44	50.09	19.33	1	2.3	GZW
31	2026-10-23 22:13:31	50.22	18.75	1	2.3	GZW
32	2026-10-24 03:51:30	51.54	16.09	1	2.1	LGOM
33	2026-10-26 00:05:06	51.54	16.08	1	2.5	LGOM
34	2026-10-26 00:49:33	51.53	16.16	1	2.3	LGOM
35	2026-10-26 04:59:41	51.56	16.08	1	2.3	LGOM
36	2026-10-28 03:31:01	49.98	18.59	1	2.0	GZW
37	2026-10-28 05:06:06	51.54	16.01	1	2.2	LGOM
38	2026-10-29 07:36:38	51.54	16.03	1	2.4	LGOM
39	2026-10-29 20:30:31	50.09	19.34	1	2.6	GZW
40	2026-10-29 21:00:15	51.56	16.04	10.2	4.1	LGOM
41	2026-10-30 00:42:33	51.55	16.13	1	2.2	LGOM
42	2026-10-31 00:14:43	50.07	19.29	1	2.1	GZW

Sekwencję czasową zjawisk sejsmicznych zarejestrowanych w październiku 2026 r. w sieci PSG_Sejs_NET pokazano na **Rys. 2**, a ich statystykę w **Tab. 2**.



Rys. 2. *Sekwencja czasowa zjawisk sejsmicznych zarejestrowanych w październiku 2026 r. w sieci PSG_Sejs_NET na terenie Polski oraz w strefie przygranicznej w podziale na regiony, w których zjawiska wystąpiły.*

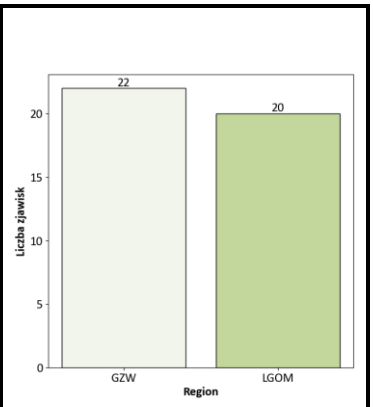
Tab. 2. *Statystyka zjawisk sejsmicznych zarejestrowanych na obszarze Polski oraz w strefie przygranicznej w październiku 2026 r. w sieci PSG_Sejs_NET.*

Magnituda		Liczba zdarzeń	%
>	≤		
0.0	2.0	11	26.2
2.0	2.5	22	52.4
2.5	3.0	7	16.7
3.0	3.5	1	2.4
3.5	4.0	0	0.0
4.0	4.5	1	2.4
M>4.5		**0**	**0.0**
Razem:		**42**	**100.0**
w tym:	**M≤2.5**	**33**	**78.6**
	M>2.5	**9**	**21.4**
	$M_{min.}$	**1.8**	
	$M_{śr.}$	**2.3**	
	$M_{maks.}$	**4.1**	

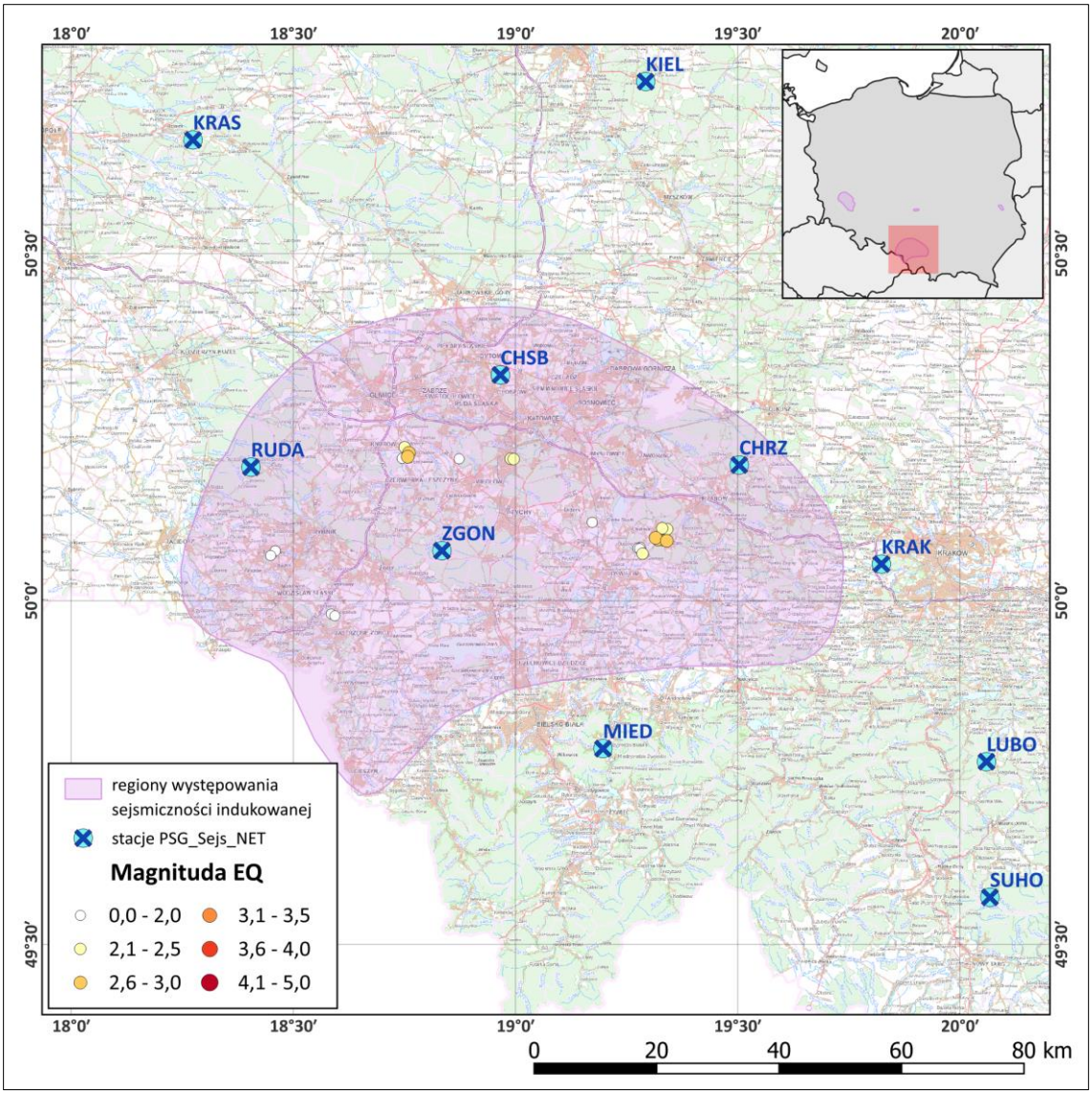
W **Tab. 3** zaprezentowano liczebność zjawisk sejsmicznych z podziałem na umowne regiony. W październiku 2026 r. najbardziej aktywnym sejsmicznie regionem był region **Górnośląskiego Zagłębia Węglowego**, w obrębie którego zarejestrowano **22** zjawisk. W regionie Legnicko-Głogowskiego Okręgu Miedziowego zidentyfikowano **20** zjawisk sejsmicznych.

Tab. 3. *Liczebność zjawisk sejsmicznych zarejestrowanych na obszarze Polski oraz w strefie przygranicznej w październiku 2026 r. w sieci PSG_Sejs_NET w podziale na umowne regiony.*

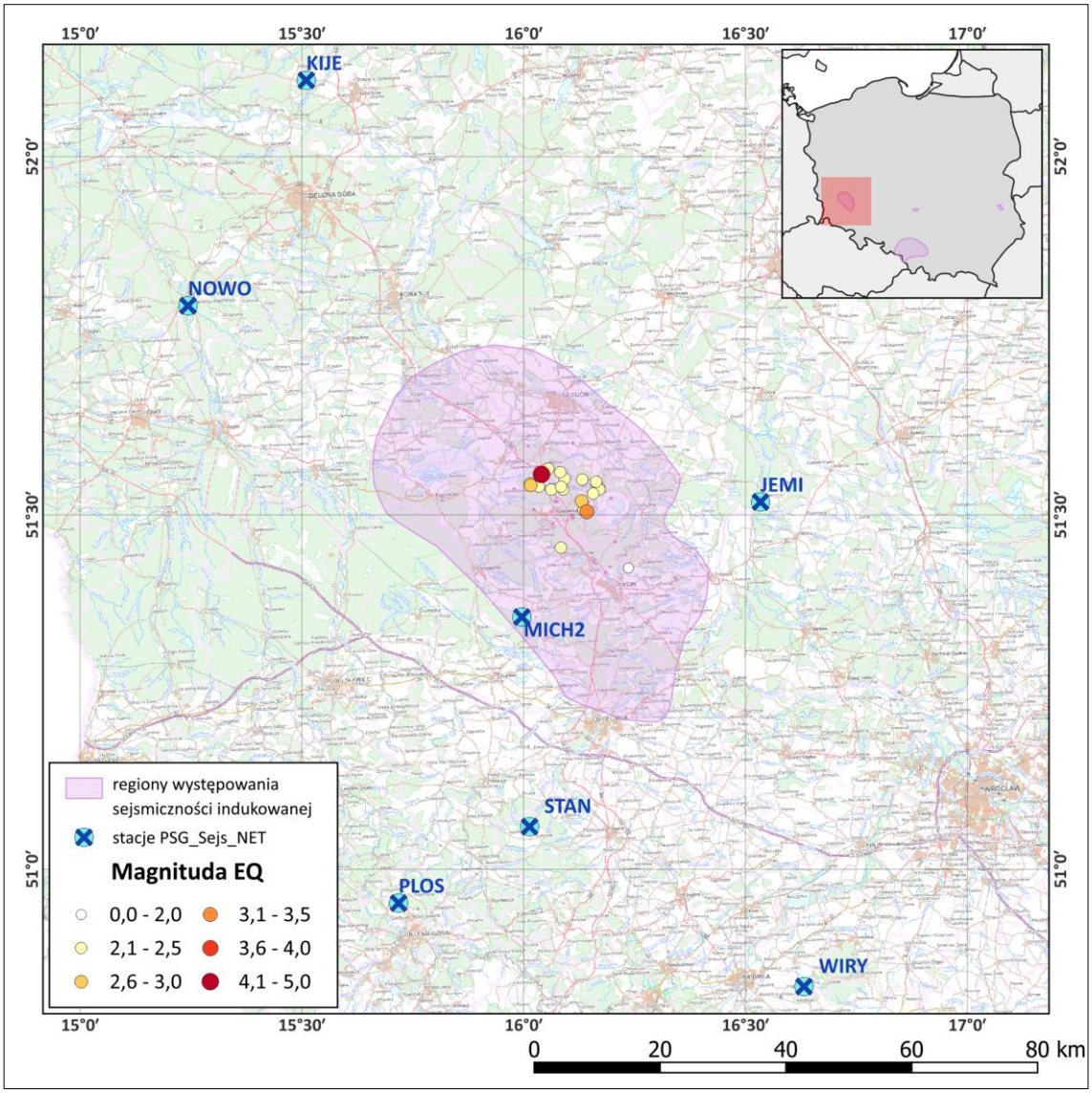
Lp.	Nazwa regionu	Liczba zjawisk sejsmicznych	Liczba zjawisk sejsmicznych odczuwalnych
1	GZW (w tym Ostrawa-Karwina)	22	5
2	LGOM	20	4
3	LZW (KWK Bogdanka)	0	0
4	KWB Bełchatów	0	0
5	Podhale	0	0
6	Karpaty C & E i Przedgórze	0	0
7	Rejon Jarocina	0	0
8	Słowacja	0	0
9	Sudety i Przedgórze	0	0
10	KWB Turów	0	0
11	nieklasyfikowane	0	0
Razem (od 01/10/2026 do 31/10/2026 r.)		**42**	**9**



Lokalizacje epicentrów zjawisk z regionu GZW i LGOM zaprezentowano na **Rys. 3** i **Rys. 4**. Regiony, w których prowadzona jest eksploatacja górnicza i występuje zagrożenie tzw. sejsmicznością indukowaną zaznaczono również na mapach **załączników 1 i 2**.



Rys. 3. *Lokalizacja epicentrów zjawisk sejsmicznych zarejestrowanych w sieci PSG_Sejs_NET państwowej służby geologicznej w regionie GZW w październiku 2026 r. (dane i oprac. PSG, podkład mapowy: BDOO).*



Rys. 4. *Lokalizacja epicentrów zjawisk sejsmicznych zarejestrowanych w sieci PSG_Sejs_NET państwowej służby geologicznej w regionie LGOM w październiku 2026 r. (dane i oprac. PSG, podkład mapowy: BDOO).*

1.3. Europejskie, Śródziemnomorskie Centrum Sejsmologiczne (European-Mediterranean Seismological Centre).

Europejskie, Śródziemnomorskie Centrum Sejsmologiczne (EMSC) rejestruje, przetwarza i analizuje dane sejsmologiczne z obszaru Europy oraz w skali globalnej z obszaru całej kuli ziemskiej. Sieć detekcji wstrząsów EMSC oparta jest o istniejące, narodowe sieci monitoringu sejsmicznego z ponad 70 krajów. W bazie danych sieci EMSC rejestrowane są zjawiska sejsmiczne, których epicentra zlokalizowane są również na terytorium Polski.

W październiku 2026 r. do zasobów bazy danych EMSC włączone zostały wstrząsy zidentyfikowane przez system monitoringu aktywności sejsmicznej prowadzony przez PIG-PIB, a także zjawiska, których parametry zostały przesłane do EMSC przez inne instytucje (m.in. Instytut Geofizyki Polskiej Akademii Nauk, GeoForschungsZentrum (GFZ), Ukrainian NDC, Main Center of Special Monitoring, Institute of Geophysics of the Czech Academy of Sciences). Listę zjawisk sejsmicznych z bazy danych EMSC, których epicentra zlokalizowane były na terytorium Polski przedstawiono w **Tab. 4**.

Tab. 4. *Zjawiska sejsmiczne na obszarze Polski w październiku 2026 r. zarejestrowane w sieci EMSC (wyciąg z bazy danych EMSC).*

Lp.	Data & Czas (UTC)	Szer. geogr. [°]	Dług. geogr. [°]	Głęb. ogniska [km]	Mag.	Region
1	2026-10-01 01:57:13	49.98	18.59	1	2.1	POLAND
2*)	2026-10-01 09:04:45	50.28	18.83	0	2.3	POLAND
3*)	2026-10-01 13:41:33	50.13	19.22	1	1.9	POLAND
4	2026-10-01 14:46:58	50.10	19.34	1	2.5	POLAND
5	2026-10-02 02:22:08	50.13	19.19	1	2.0	POLAND
6*)	2026-10-02 09:17:03	50.11	19.29	1	2.0	POLAND
7	2026-10-02 19:28:06	50.07	18.46	1	1.8	POLAND
8	2026-10-02 19:48:44	50.11	19.17	1	1.8	POLAND
9	2026-10-03 14:47:55	50.09	19.32	1	2.7	POLAND
10*)	2026-10-05 14:26:18	50.13	19.17	1	1.9	POLAND
11*)	2026-10-06 05:20:47	50.23	18.98	1	2.0	POLAND
12	2026-10-06 10:53:51	51.47	16.19	1	2.2	POLAND
13*)	2026-10-06 15:55:34	51.56	16.11	1	2.1	POLAND
14	2026-10-06 18:38:47	50.21	18.87	0	2.0	POLAND
15*)	2026-10-06 20:18:42	50.14	19.19	1	2.0	POLAND
16	2026-10-07 04:19:13	51.54	16.17	1	2.3	POLAND
17	2026-10-07 20:48:11	51.51	16.13	1	2.4	POLAND
18	2026-10-08 04:04:34	51.54	16.16	1	2.2	POLAND
19*)	2026-10-08 13:30:58	50.08	19.36	1	2.1	POLAND
20	2026-10-08 19:21:11	50.21	18.74	1	2.0	POLAND
21	2026-10-08 19:45:45	50.21	18.76	1	2.8	POLAND
22	2026-10-09 01:00:31	50.08	19.28	1	1.8	POLAND
23	2026-10-09 12:33:53	51.51	16.14	1	3.6	POLAND
24*)	2026-10-09 18:55:34	50.07	19.30	1	2.5	POLAND
25*)	2026-10-09 20:25:30	50.09	19.30	1	1.9	POLAND
26	2026-10-11 00:00:16	50.08	19.28	1	1.9	POLAND
27	2026-10-11 02:59:26	51.55	16.16	1	2.3	POLAND
28	2026-10-12 09:48:17	50.10	19.33	1	2.4	POLAND
29*)	2026-10-12 15:32:19	50.14	19.19	1	2.1	POLAND
30	2026-10-12 17:00:57	51.54	16.06	1	2.3	POLAND
31	2026-10-12 19:36:51	50.21	18.99	1	2.3	POLAND
32	2026-10-13 04:12:23	51.57	16.01	1	2.5	POLAND
33*)	2026-10-13 15:29:24	50.11	19.17	1	2.1	POLAND
34*)	2026-10-13 18:50:45	50.09	18.43	1	2.1	POLAND
35	2026-10-13 20:05:23	50.08	19.28	1	2.0	POLAND
36*)	2026-10-15 10:38:26	50.09	19.35	1	2.2	POLAND
37*)	2026-10-15 14:13:16	51.56	16.21	1	2.1	POLAND
38*)	2026-10-15 21:19:40	51.48	16.12	0	2.2	POLAND
39*)	2026-10-16 00:26:56	50.09	19.30	1	1.9	POLAND
40	2026-10-16 14:31:41	50.21	18.77	2	2.6	POLAND
41	2026-10-16 17:00:55	51.56	16.10	1	2.5	POLAND
42*)	2026-10-16 19:43:22	50.23	18.83	1	2.3	POLAND
43*)	2026-10-17 02:37:37	50.11	19.31	1	1.9	POLAND
44	2026-10-17 03:57:14	51.55	16.09	1	2.2	POLAND
45	2026-10-17 13:15:25	50.09	19.32	1	2.7	POLAND
46	2026-10-17 15:53:31	51.52	16.13	1	2.8	POLAND
47	2026-10-17 15:58:29	50.20	19.00	3	2.4	POLAND
48	2026-10-17 22:40:56	51.43	16.24	1	2.0	POLAND
49	2026-10-18 22:49:34	50.07	18.45	1	2.1	POLAND
50*)	2026-10-19 12:43:20	51.43	16.27	1	2.1	POLAND
51*)	2026-10-21 08:11:26	51.58	15.99	1	2.4	POLAND
52	2026-10-21 12:10:44	50.09	19.33	1	2.3	POLAND
53*)	2026-10-22 11:50:05	51.56	16.15	1	2.2	POLAND
54*)	2026-10-23 10:08:41	50.11	19.34	0	2.2	POLAND
55	2026-10-23 22:13:31	50.22	18.75	1	2.3	POLAND

56	2026-10-24 03:51:29	51.54	16.09	1	2.2	POLAND
57	2026-10-26 00:05:05	51.56	16.06	1	2.6	POLAND
58	2026-10-26 00:49:32	51.53	16.16	1	2.3	POLAND
59	2026-10-26 04:59:40	51.57	16.08	1	2.2	POLAND
60*)	2026-10-26 19:31:03	50.09	19.34	1	2.3	POLAND
61*)	2026-10-27 16:51:47	51.45	16.07	1	2.0	POLAND
62	2026-10-28 03:31:00	49.98	18.59	1	2.0	POLAND
63	2026-10-28 05:06:05	51.54	16.01	1	2.2	POLAND
64*)	2026-10-29 05:15:27	51.56	16.10	1	2.0	POLAND
65	2026-10-29 07:36:37	51.54	16.03	1	2.5	POLAND
66*)	2026-10-29 10:29:32	50.25	18.99	1	2.3	POLAND
67*)	2026-10-29 16:49:34	50.23	18.74	0	2.4	POLAND
68	2026-10-29 20:30:30	50.09	19.34	1	2.7	POLAND
69	2026-10-29 21:00:15	51.56	16.04	10	4.7	POLAND
70	2026-10-30 00:42:33	51.56	16.15	1	2.3	POLAND
71*)	2026-10-30 19:11:08	50.25	18.98	1	2.1	POLAND
72*)	2026-10-30 19:52:31	49.98	18.39	10	1.9	POLAND
73	2026-10-31 00:14:42	50.08	19.31	10	2.1	POLAND
*) Zdarzenia sejsmiczne niezidentyfikowane w sieci PSG_Sejs_NET						

Statystykę zdarzeń sejsmicznych z terytorium Polski zarejestrowanych w bazie EMSC podsumowano w **Tab. 5**.

Tab. 5. *Statystyka zdarzeń sejsmicznych z terytorium Polski zarejestrowanych w bazie EMSC w październiku 2026 roku.*

Magnituda		**Liczba zdarzeń**	**%**
>	**≤**		
0.0	2.5	64	87.7
2.5	3.0	7	9.6
3.0	3.5	0	0.0
3.5	4.0	1	1.4
4.0	4.5	0	0.0
M>4.5		**1**	**1.4**
Razem:		**73**	**100.0**
w tym:	**M≤2.5**	**64**	**87.7**
	M>2.5	**9**	**12.3**
	$M_{min.}$	**1.8**	
	$M_{śr.}$	**2.3**	
	$M_{maks.}$	**4.7**	

2. AKTYWNOŚĆ SEJSMICZNA NA KONTYNENCIE EUROPEJSKIM I W SKALI GLOBALNEJ (WG DANYCH EMSC).

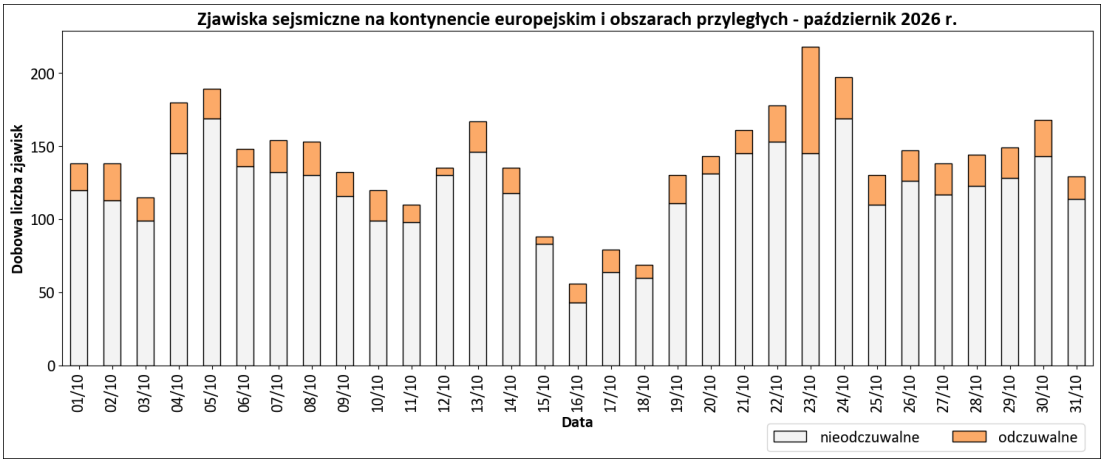
2.1. Aktywność sejsmiczna na kontynencie europejskim.

Na obszarze kontynentu europejskiego i obszarach przyległych w październiku 2026 roku w bazie danych EMSC zarejestrowano **4338** zdarzeń sejsmicznych o magnitudzie od **M0.0** do **M5.7**.

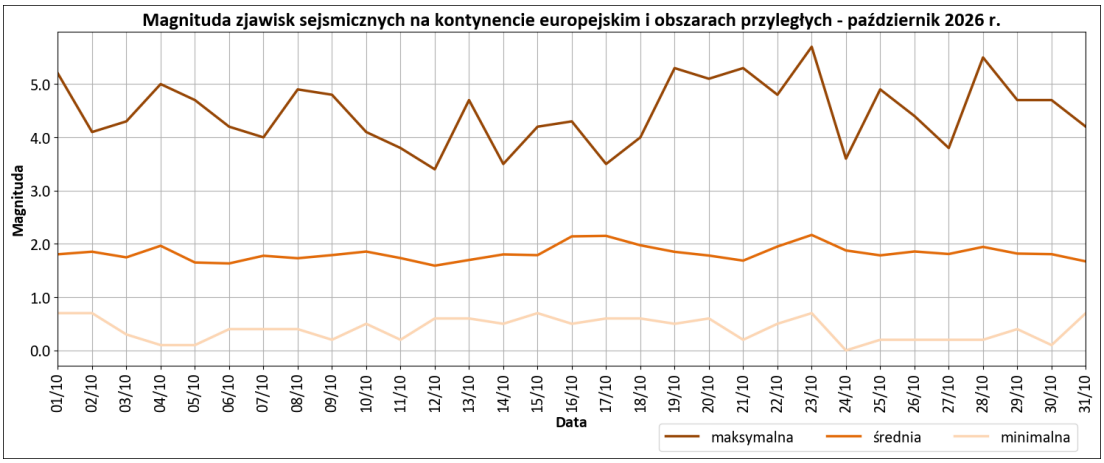
Lokalizacje epicentrów trzęsień ziemi obejmujących obszar Europy i tereny przyległe zaprezentowano na **zał. 3**. Charakterystykę europejskiej aktywności sejsmicznej w październiku 2026 r., dla zjawisk z obszaru w granicach mapy podst. (**zał. 3**), przedstawiono w **Tab. 6** (statystyka wstrząsów) i na **Rys. 5 i Rys. 6** (sekwencja zjawisk – dobowa liczebność i magnituda).

Tab. 6. *Statystyka zjawisk sejsmicznych zarejestrowanych w bazie EMSC na obszarze Europy i obszarach przyległych (w granicach obszaru mapy podstawowej z zał. 3) w październiku 2026 r. – oprac. PSG.*

Magnituda		Liczba zdarzeń	%
>	≤		
0.0	2.5	3715	85.6
2.5	3.5	516	11.9
3.5	4.5	76	1.8
4.5	5.5	29	0.7
5.5	6.5	1	0.0
6.5	8.0	0	0.0
Razem:		**4338**	**100.0**
w tym:	**M≤2.5**	**3716**	**85.7**
	M>2.5	**622**	**14.3**
	$M_{min.}$	**0.0**	
	$M_{śr.}$	**1.8**	
	$M_{maks.}$	**5.7**	



Rys. 5. *Sekwencja zjawisk sejsmicznych na kontynencie europejskim w październiku 2026 r. – dobowa liczebność zjawisk (odczuwalnych i nieodczuwalnych) – oprac. PSG, dane EMSC.*



Rys. 6. *Sekwencja zjawisk sejsmicznych na kontynencie europejskim w październiku 2026 r. – dobowa magnituda: minimalna, średnia i maksymalna – oprac. PSG, dane EMSC.*

Regionalna charakterystyka aktywności sejsmicznej w październiku 2026 r., mierzona liczbą zarejestrowanych zjawisk o **magnitudach przekraczających próg odczuwalności** (**M>2.5**),

zaprezentowana została w **Tab. 7**. Z analizy zjawisk zarejestrowanych wynika, że w październiku w obszarze europejskim największą aktywnością sejsmiczną wyróżniał się region **Sycylii, Włochy.**

Tab. 7. *Najbardziej aktywne regiony sejsmologiczne na kontynencie europejskim i obszarach przyległych w październiku 2026 r. pod względem liczby zarejestrowanych, odczuwalnych zjawisk sejsmicznych (oprac. PSG na podstawie danych EMSC).*

Lp.	Region	Liczba odczuwalnych zjawisk zarejestrowanych w EMSC - październik 2026 r.	Procentowy udział w miesięcznej liczbie zjawisk odczuwalnych - październik 2026 r.
1	SICILY, ITALY	112	18.01
2	CRETE, GREECE	50	8.04
3	CENTRAL TURKEY	38	6.11
4	WESTERN TURKEY	38	6.11
5	GREECE	33	5.31
6	AEGEAN SEA	28	4.50
7	AZORES ISLANDS, PORTUGAL	27	4.34
8	SOUTHERN GREECE	27	4.34

W październiku 2026 r. na kontynencie europejskim oraz obszarach przyległych zanotowano 13 zjawisk o magnitudzie M≥5. Podstawowe parametry najsilniejszych europejskich zjawisk przedstawiono w **Tab. 8**.

Tab. 8. *Wykaz zjawisk sejsmicznych o magnitudzie M≥5.0, zarejestrowanych na obszarze Europy i obszarach przyległych (w granicach obszaru mapy podstawowej – zał. 3) w październiku 2026 r. (na podst. danych z bazy EMSC).*

Lp.	Data & Czas (UTC)	Szer. geogr. [°]	Dług. geogr. [°]	Głęb. ogniska [km]	Mag.	Region
1	2026-10-01 01:29:15	36.11	68.84	10	5.2	HINDU KUSH REGION, AFGHANISTAN
2	2026-10-04 11:43:23	37.74	36.10	7	5.0	CENTRAL TURKEY
3	2026-10-19 14:44:23	64.62	-17.48	1	5.3	ICELAND
4	2026-10-20 18:07:18	37.93	-26.28	10	5.1	AZORES ISLANDS, PORTUGAL
5	2026-10-21 19:06:05	56.95	-34.23	10	5.0	REYKJANES RIDGE
6	2026-10-21 21:38:55	56.88	-34.11	10	5.3	REYKJANES RIDGE
7	2026-10-21 21:58:48	56.85	-34.15	8	5.0	REYKJANES RIDGE
8	2026-10-23 10:19:16	38.76	14.17	4	5.7	SICILY, ITALY
9	2026-10-23 13:55:36	38.75	14.23	10	5.2	SICILY, ITALY
10	2026-10-28 11:37:50	58.20	-32.21	4	5.5	REYKJANES RIDGE
11	2026-10-28 11:56:18	58.34	-32.41	13	5.0	REYKJANES RIDGE
12	2026-10-28 12:47:10	58.23	-32.27	16	5.0	REYKJANES RIDGE
13	2026-10-28 19:45:33	58.12	-32.12	10	5.2	REYKJANES RIDGE

Lokalizacje epicentrów zjawisk sejsmicznych o magnitudzie M>2.5 z obszaru Europy i obszarów przyległych zaprezentowano na **zał. 3**.

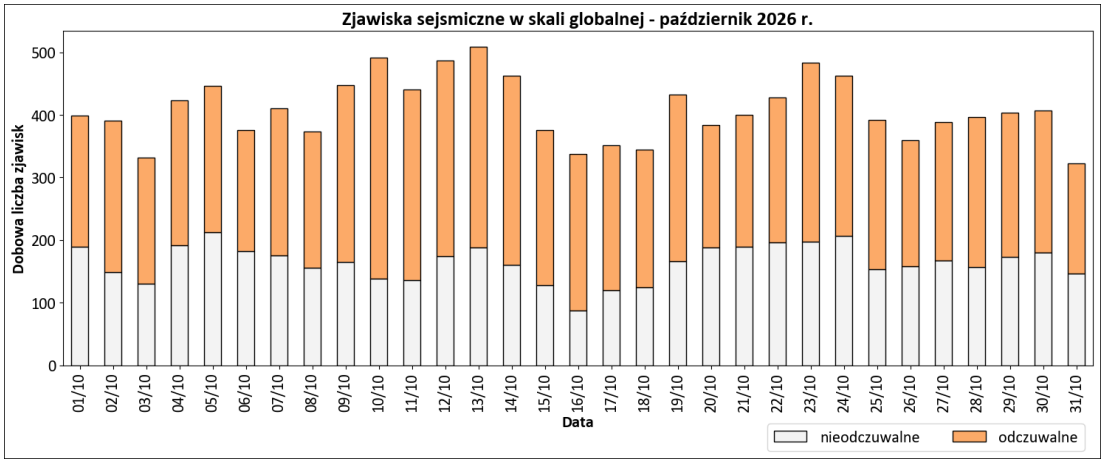
2.2. Globalna aktywność sejsmiczna.

W październiku 2026 roku w skali globalnej w bazie danych EMSC zarejestrowano **12661** zjawisk sejsmicznych o magnitudzie od **M0.0** do **M7.7**.

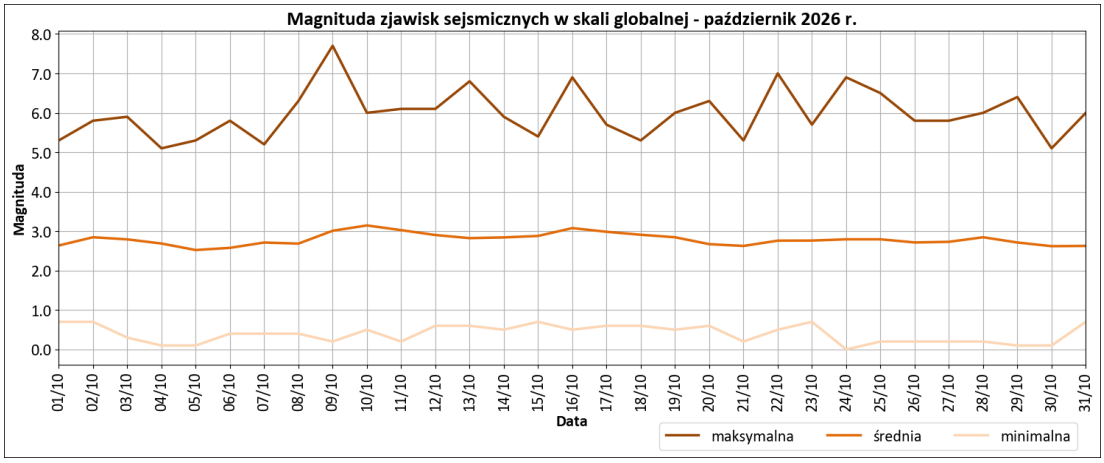
Lokalizacje epicentrów trzęsień ziemi zarejestrowanych na obszarze całej kuli ziemskiej zaprezentowano na **zał. 4**. Charakterystykę globalnej aktywności sejsmicznej w październiku 2026 r., przedstawiono w **Tab. 9** (statystyka wstrząsów) i na **Rys. 7 i Rys. 8** (sekwencja zjawisk – dobowa liczebność i magnituda).

Tab. 9. *Statystyka zjawisk sejsmicznych zarejestrowanych w bazie EMSC na obszarze kuli ziemskiej w październiku 2026 r. – oprac. PSG.*

Magnituda		Liczba zdarzeń	%
>	≤		
0.0	2.5	5093	40.2
2.5	3.5	4634	36.6
3.5	4.5	2282	18.0
4.5	5.5	608	4.8
5.5	6.0	27	0.2
6.0	7.0	15	0.1
>7.0		**1**	**0.0**
Razem:		**12661**	**100.0**
w tym:	**M≤2.5**	**5094**	**40.2**
	M>2.5	**7567**	**59.8**
	$M_{min.}$	**0.0**	
	$M_{śr.}$	**2.8**	
	$M_{maks.}$	**7.7**	



Rys. 7. *Sekwencja zjawisk sejsmicznych w skali globalnej w październiku 2026 r. – dobowa liczebność zjawisk (odczuwalnych i nieodczuwalnych) – oprac. PSG, dane EMSC.*



Rys. 8. *Sekwencja zjawisk sejsmicznych w skali globalnej w październiku 2026 r. – dobowa magnituda: minimalna, średnia i maksymalna – oprac. PSG, dane EMSC.*

Regionalna charakterystyka aktywności sejsmicznej w październiku 2026 r., mierzona liczbą zarejestrowanych zjawisk o **magnitudach przekraczających próg odczuwalności** (**M>2.5**), zaprezentowana została w **Tab. 10**. Z analizy zjawisk zarejestrowanych wynika, że w październiku w skali globalnej największą aktywnością sejsmiczną wyróżniał się region **Panamy**.

Tab. 4. *Najbardziej aktywne regiony sejsmologiczne na świecie w październiku 2026 r. pod względem liczebności zarejestrowanych, odczuwalnych zdarzeń sejsmicznych (oprac. PSG na podstawie danych EMSC).*

Lp.	Region	Liczba odczuwalnych zjawisk zarejestrowanych w EMSC - październik 2026 r.	Procentowy udział w miesięcznej liczbie zjawisk odczuwalnych - październik 2026 r.
1	PANAMA	1002	13.24
2	ANTOFAGASTA, CHILE	333	4.40
3	FLORES REGION, INDONESIA	281	3.71
4	TARAPACA, CHILE	168	2.22
5	OAXACA, MEXICO	160	2.11
6	PANAMA-COSTA RICA BORDER REGION	144	1.90
7	VANUATU	124	1.64
8	GUERRERO, MEXICO	119	1.57
9	SAN JUAN, ARGENTINA	118	1.56
10	SALTA, ARGENTINA	117	1.55
11	SICILY, ITALY	112	1.48
12	FLORES SEA	111	1.47

Wykaz najsilniejszych zjawisk sejsmicznych, które zostały zarejestrowane w październiku br. na obszarze kuli ziemskiej, których magnituda osiągnęła lub przekroczyła wartość **M6.0** przedstawiono w **Tab. 11**.

Tab. 5. *Wykaz zjawisk sejsmicznych o magnitudzie M≥6.0, zarejestrowanych na obszarze kuli ziemskiej w październiku 2026 r. (oprac. PSG na podst. danych z bazy EMSC).*

Lp.	Data & Czas (UTC)	Szer. geogr. [°]	Dług. geogr. [°]	Głęb. ogniska [km]	Mag.	Region
1	2026-10-08 09:00:08	-15.52	168.28	10	6.3	VANUATU
2	2026-10-09 17:56:07	7.58	-80.77	15	7.7	PANAMA
3	2026-10-09 20:25:38	7.72	-81.42	6	6.6	PANAMA
4	2026-10-10 04:14:02	7.54	-80.63	10	6.0	PANAMA
5	2026-10-11 14:07:24	-7.00	155.72	61	6.1	SOLOMON ISLANDS
6	2026-10-12 23:20:36	7.76	-81.41	10	6.1	PANAMA
7	2026-10-13 05:44:46	0.14	-19.69	10	6.7	CENTRAL MID-ATLANTIC RIDGE
8	2026-10-13 12:23:08	-0.38	-19.32	10	6.8	CENTRAL MID-ATLANTIC RIDGE
9	2026-10-13 18:45:04	-5.42	152.03	25	6.0	NEW BRITAIN REGION, P.N.G.
10	2026-10-16 03:35:32	52.03	157.22	134	6.9	KAMCHATKA PENINSULA, RUSSIA
11	2026-10-19 07:49:05	-13.98	165.69	10	6.0	VANUATU
12	2026-10-20 04:20:38	-13.97	165.56	10	6.3	VANUATU
13	2026-10-22 14:33:39	32.40	93.84	10	7.0	XIZANG-QINGHAI BORDER REGION
14	2026-10-24 02:31:29	-14.05	165.53	10	6.9	VANUATU
15	2026-10-24 02:35:57	-14.07	165.90	10	6.3	VANUATU
16	2026-10-25 02:09:23	27.84	139.61	490	6.5	BONIN ISLANDS, JAPAN REGION
17	2026-10-25 02:24:02	-14.94	167.29	132	6.1	VANUATU
18	2026-10-28 02:21:45	-13.85	165.50	10	6.0	VANUATU
19	2026-10-29 07:49:51	-36.47	-98.13	3	6.4	SOUTHEAST OF EASTER ISLAND
20	2026-10-29 21:46:46	-15.20	167.44	150	6.2	VANUATU
21	2026-10-31 22:15:02	33.82	136.99	352	6.0	NEAR S. COAST OF WESTERN HONSHU

3. MONITORING ZMIAN PIONOWEJ SKŁADOWEJ PRZYSPIESZENIA SIŁY CIĘŻKOŚCI.

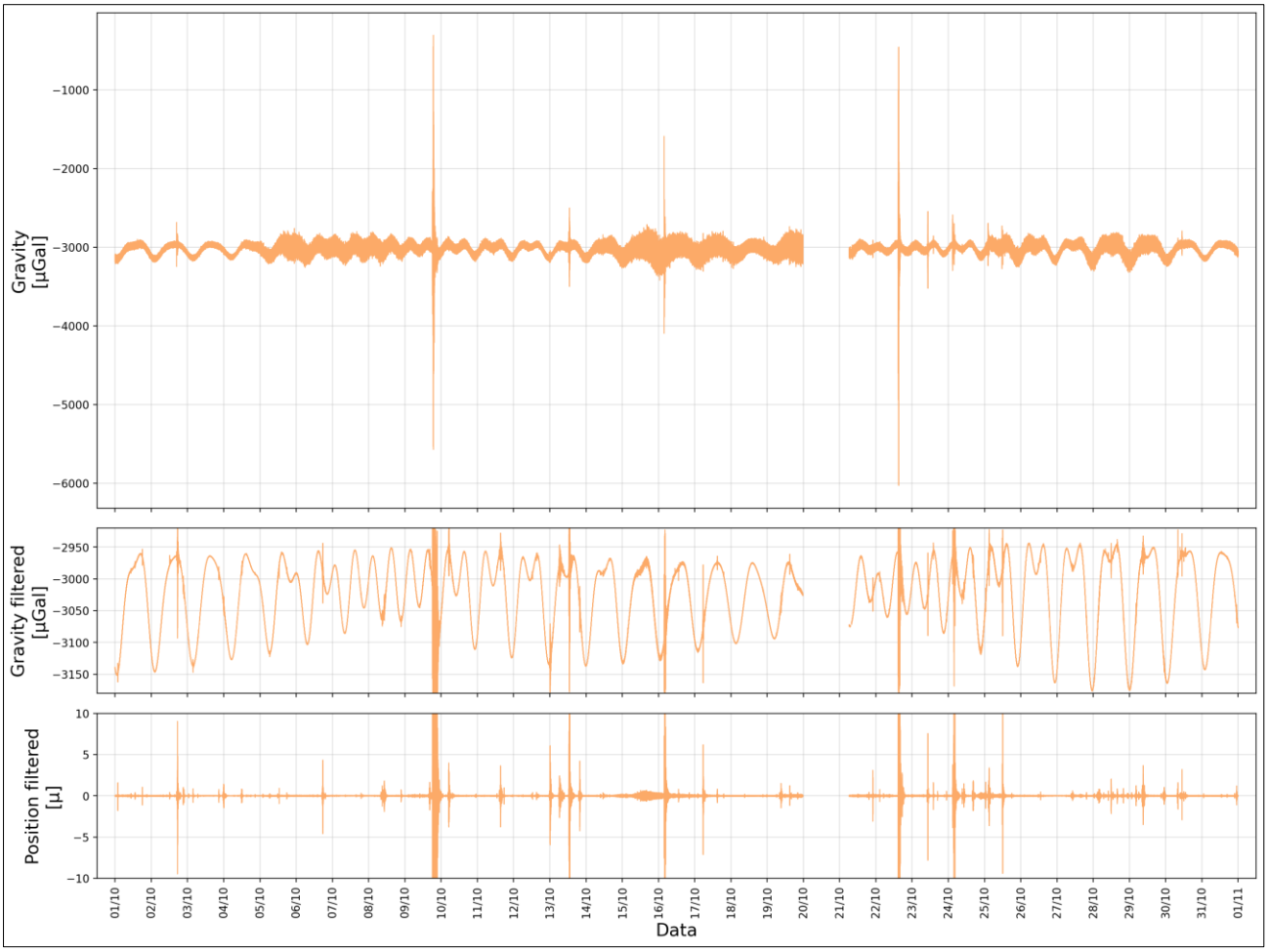
Przedmiotem monitoringu grawimetrycznego są periodyczne (m. in. pływy grawitacyjne spowodowane oddziaływaniem grawitacyjnym Słońca i Księżyca) i nieperiodyczne zmiany przyspieszenia składowej pionowej pola grawitacyjnego (m. in. wstrząsy i zjawiska sejsmiczne) na stałym stanowisku obserwacyjnym w laboratorium geodynamicznym PSG w Hołownie (HOLO) w gm. Podedwórze w pow. parczewskim.

Do monitoringu grawimetrycznego wykorzystywany jest sprężynowy, względny grawimetr pływowy gPhoneX nr 165 prod. Micro-g LaCoste (USA) o rozdzielczości 0.1 µGal i precyzji ± 1.0 µGal. Pomiary siły ciężkości wykonywane są z 1 Hz oraz 5 Hz częstotliwością odczytów.

Na **Rys. 9** zaprezentowane zostały wykresy wyników obserwacji grawimetrycznych zarejestrowane w październiku 2026 r. przedstawiające:

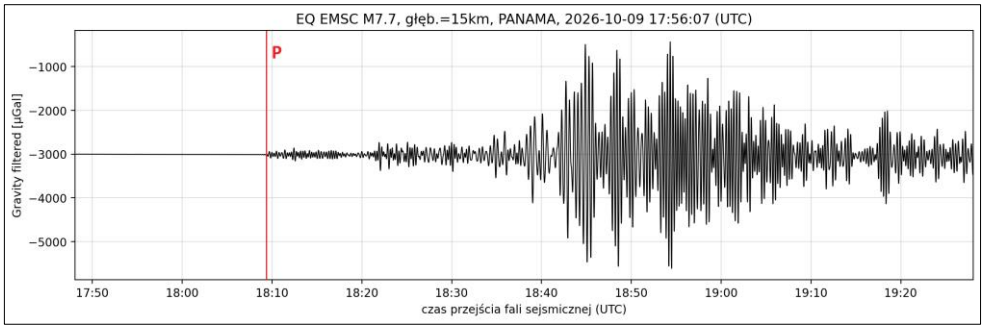
- zarejestrowane oscylacje składowej pionowej przyspieszenia siły ciężkości wywołane głównie działaniem sił pływowych (przyciąganie grawitacyjne Słońca i Księżyca) w skorupie ziemskiej, czyli dane surowe – komponent ***Gravity [µGal]***,
- dane po filtracji dolnoprzepustowej (f_c = 0.07 Hz) – komponent ***Gravity filtered [µGal]***,
- wielkości przemieszczenia pionowego (odpowiadające zmianom przyspieszenia) w trakcie przejścia fal sejsmicznych przez stanowisko obserwacji wyznaczone na podstawie podwójnego całkowania zredukowanych zmian przyspieszenia siły ciężkości, również po filtracji dolnoprzepustowej (f_c = 0.07 Hz) – komponent ***Position filtered [µ]***.

Występujące nieregularne zjawiska o wysokich amplitudach, których obraz falowy wyraźnie zaznaczył się na zapisach, są wywołane falami sejsmicznymi wygenerowanymi w źródłach najsilniejszych trzęsień ziemi występujących na świecie.

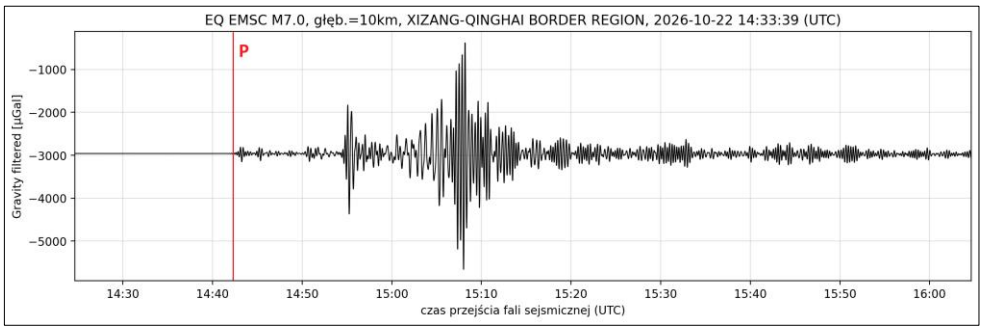


Rys. 9. *Zmiany pionowej składowej siły ciężkości* ***g*** *zarejestrowane w okresie od* ***01/10/2026*** *do* ***31/10/2026 r.*** *w laboratorium geodynamicznym PSG w Hołownie; zmiany składowej pionowej przyspieszenia siły ciężkości (górny wykres), zmiany składowej pionowej przyspieszenia siły ciężkości po filtracji dolnoprzepustowej (środkowy wykres), podwójne przecałkowane, zredukowane zmiany składowej pionowej przyspieszenia siły ciężkości po filtracji dolnoprzepustowej (dolny wykres).*

Na **Rys. 10** i **Rys.11** przedstawiono efekty dwóch najmocniejszych trzęsień ziemi (obrazy falowe zarejestrowane grawimetrem gPhoneX nr 165) widocznych w zapisie monitoringu składowej pionowej siły ciężkości w laboratorium geodynamicznych w Hołownie (stacja HOLO) odpowiednio z dnia 09/10/2026 r. w regionie *PANAMA* o magnitudzie M7.7 oraz z dnia 22/10/2026 r. w regionie *XIZANG-QINGHAI BORDER REGION* o magnitudzie M7.0. Parametry wymienionych zjawisk, na podstawie danych EMSC, zostały przedstawione w **Tab. 13**. Na wykresach przedstawiono zmiany składowej pionowej przyspieszenia siły ciężkości po filtracji dolnoprzepustowej oraz zaznaczono pierwsze wejście fali (P).

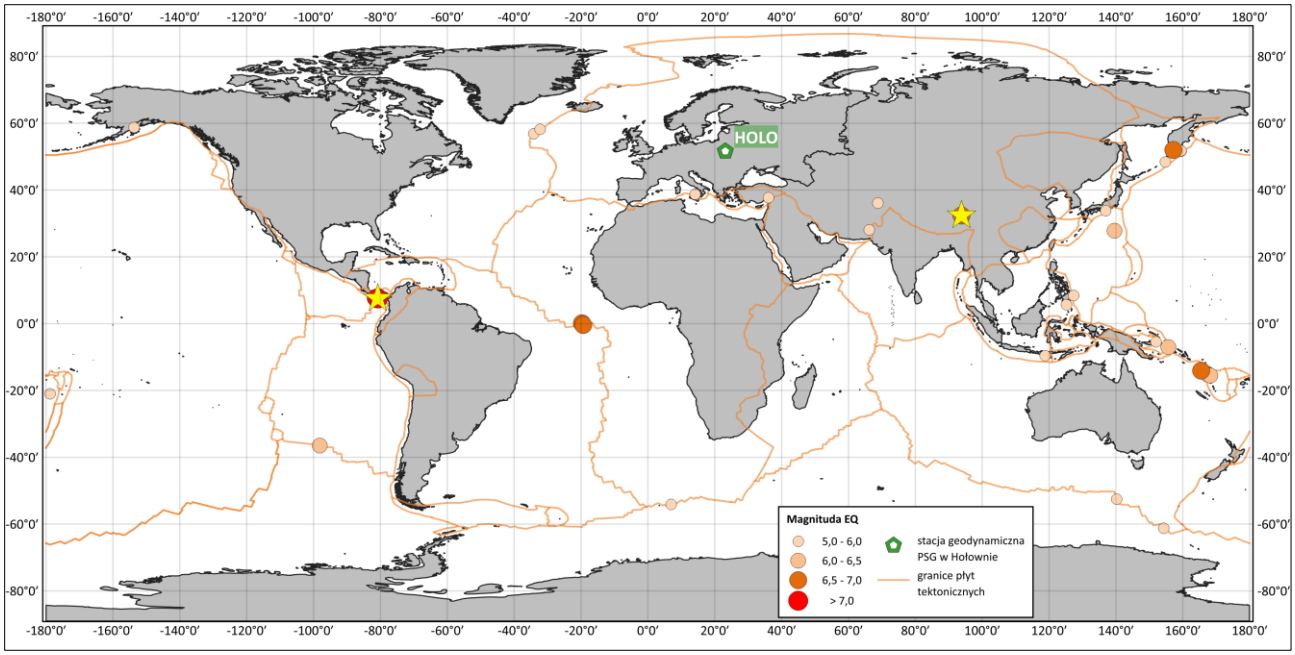


Rys. 10. *Fragment zapisu (przyspieszenia) z monitoringu grawimetrycznego pola siły ciężkości na stacji HOLO zarejestrowany w trakcie przejścia przez punkt obserwacji grawimetrycznych fal sejsmicznych wywołanych w ognisku trzęsienia ziemi o magnitudzie M7.7 z dnia 09/10/2026 r. w regionie PANAMA.*



Rys. 11. *Fragment zapisu (przyspieszenia) z monitoringu grawimetrycznego pola siły ciężkości na stacji HOLO zarejestrowany w trakcie przejścia przez punkt obserwacji grawimetrycznych fal sejsmicznych wywołanych w ognisku trzęsienia ziemi o magnitudzie M7.0 z dnia 22/10/2026 r. w regionie XIZANG-QINGHAI BORDER REGION.*

Lokalizacja epicentrów zjawisk sejsmicznych widocznych w zapisie parametrów monitoringu grawimetrycznego w październiku 2026 r., których obraz falowy wyraźnie zaznaczył się na dolnym wykresie (**Rys. 9**, komponent *Position filtered*) przedstawiono na **Rys. 12**. Dodatkowo gwiazdką oznaczono najsilniejsze trzęsienia ziemi, których fragment zapisu przedstawiono powyżej (**Rys. 10** i **Rys. 11**). W **Tab. 12** przedstawiono wykaz podstawowych danych odnoszących się do tych zjawisk sejsmicznych na podstawie bazy EMSC.



Rys. 12. *Lokalizacja epicentrów wybranych zjawisk sejsmicznych widocznych w zapisie parametrów monitoringu grawimetrycznego w październiku 2026 r. na stacji geodynamicznej PSG w Hołownie (HOLO).*

Tab. 6. *Wykaz wybranych zjawisk sejsmicznych zarejestrowanych w październiku 2026 r. w zapisach parametrów monitoringu grawimetrycznego na stacji PSG w Hołownie (dane w tabeli wg danych EMSC).*

Lp.	Data	Godz. (UTC)	Szer. geogr. [°]	Dług. geogr. [°]	Głęb. ogniska [km]	Mag.	Nazwa regionu sejsmologicznego
1	2026-10-01	01:29:15	36.11	68.84	10	5.2	HINDU KUSH REGION, AFGHANISTAN
2	2026-10-02	16:34:39	51.82	159.56	20	5.8	OFF EAST COAST OF KAMCHATKA
3	2026-10-02	20:54:14	51.71	159.58	20	5.2	OFF EAST COAST OF KAMCHATKA
4	2026-10-03	20:00:45	51.73	159.55	10	5.1	OFF EAST COAST OF KAMCHATKA
5	2026-10-03	22:55:54	-9.6	118.88	34	5.9	SUMBAWA REGION, INDONESIA
6	2026-10-04	11:43:23	37.74	36.1	7	5	CENTRAL TURKEY
7	2026-10-05	01:18:50	-0.43	-19.96	10	5.3	CENTRAL MID-ATLANTIC RIDGE
8	2026-10-06	16:48:21	48.41	154.84	30	5.8	KURIL ISLANDS
9	2026-10-06	18:34:31	58.79	-153.67	85	5.5	KODIAK ISLAND REGION, ALASKA
10	2026-10-08	06:46:48	-52.53	140.28	5	5.5	WEST OF MACQUARIE ISLAND
11	2026-10-08	08:07:58	5.69	125.25	35	5.5	MINDANAO, PHILIPPINES
12	2026-10-08	09:00:08	-15.52	168.28	10	6.3	VANUATU
13	2026-10-09	14:49:40	-61.25	154.34	10	5.9	BALLENY ISLANDS REGION
14	2026-10-09	17:56:07	7.58	-80.77	15	7.7	PANAMA
15	2026-10-09	20:25:38	7.72	-81.42	6	6.6	PANAMA
16	2026-10-10	04:14:02	7.54	-80.63	10	6	PANAMA
17	2026-10-11	14:07:24	-7	155.72	61	6.1	SOLOMON ISLANDS
18	2026-10-12	23:20:36	7.76	-81.41	10	6.1	PANAMA
19	2026-10-13	05:44:46	0.14	-19.69	10	6.7	CENTRAL MID-ATLANTIC RIDGE
20	2026-10-13	12:23:08	-0.38	-19.32	10	6.8	CENTRAL MID-ATLANTIC RIDGE
21	2026-10-13	18:45:04	-5.42	152.03	25	6	NEW BRITAIN REGION, P.N.G.
22	2026-10-14	10:49:47	-20.99	-178.8	582	5.9	FIJI REGION
23	2026-10-16	03:35:32	52.03	157.22	134	6.9	KAMCHATKA PENINSULA, RUSSIA
24	2026-10-17	05:06:58	28.09	66.24	10	5.7	PAKISTAN
25	2026-10-19	07:49:05	-13.98	165.69	10	6	VANUATU
26	2026-10-21	21:38:55	56.88	-34.11	10	5.3	REYKJANES RIDGE
27	2026-10-22	14:33:39	32.4	93.84	10	7	XIZANG-QINGHAI BORDER REGION
28	2026-10-23	10:19:16	38.76	14.17	4	5.7	SICILY, ITALY

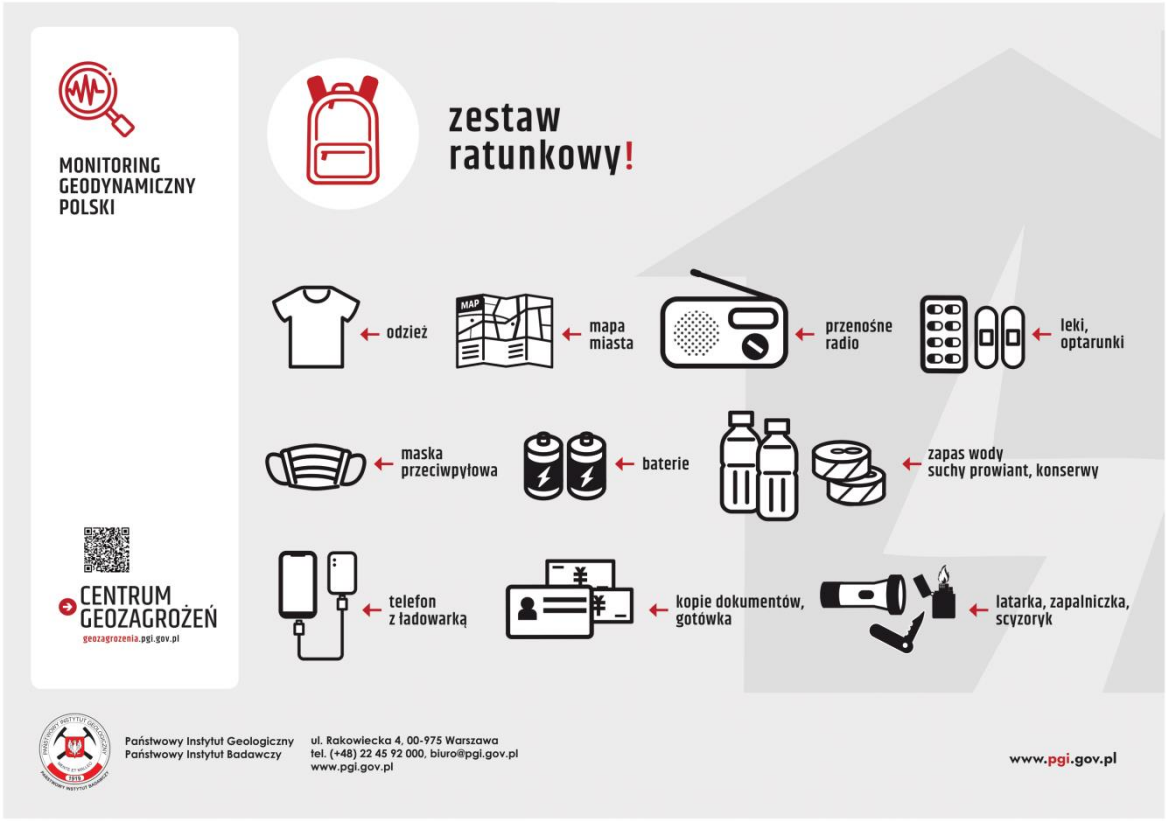
29	2026-10-23	13:55:36	38.75	14.23	10	5.2	SICILY, ITALY
30	2026-10-24	02:31:29	-14.05	165.53	10	6.9	VANUATU
31	2026-10-24	02:35:57	-14.07	165.9	10	6.3	VANUATU
32	2026-10-24	08:56:28	-13.95	165.69	7	5.9	VANUATU
33	2026-10-24	15:24:19	-54.1	6.98	10	5.9	BOUVET ISLAND REGION
34	2026-10-25	02:09:23	27.84	139.61	490	6.5	BONIN ISLANDS, JAPAN REGION
35	2026-10-25	02:24:02	-14.94	167.29	132	6.1	VANUATU
36	2026-10-25	11:25:57	32.51	93.96	10	5.9	XIZANG-QINGHAI BORDER REGION
37	2026-10-27	08:55:23	-13.87	165.62	4	5.8	VANUATU
38	2026-10-28	02:21:45	-13.85	165.5	10	6	VANUATU
39	2026-10-28	11:37:50	58.2	-32.21	4	5.5	REYKJANES RIDGE
40	2026-10-29	03:19:05	8.43	127.42	9	5.8	PHILIPPINE ISLANDS REGION
41	2026-10-29	07:49:51	-36.47	-98.13	3	6.4	SOUTHEAST OF EASTER ISLAND
42	2026-10-29	21:46:46	-15.2	167.44	150	6.2	VANUATU
43	2026-10-31	22:15:02	33.82	136.99	352	6	NEAR S. COAST OF WESTERN HONSHU

4. DODATEK – PAŃSTWOWA SŁUŻBA GEOLOGICZNA RADZI, JAK ZACHOWAĆ SIĘ W CZASIE ZJAWISK SEJSMICZNYCH.

Uwaga: Poradnik znajdujący się poniżej został opracowany na podstawie zaleceń Ministerstwa Spraw Zagranicznych (https://www.gov.pl/web/dyplomacja/trzesienia-ziemi).

Według zaleceń Ministerstwa Spraw Zagranicznych (MSZ), gdy **podróżujesz do obszaru zagrożonego trzęsieniami ziemi,** zalecane są następujące kroki:

- Zarejestruj się w serwisie MSZ Odyseusz (https://odyseusz.msz.gov.pl/). Umożliwi to w przypadku wystąpienia nadzwyczajnych sytuacji udzielenie pomocy poprzez właściwą placówkę dyplomatyczno-konsularną, a także otrzymywanie powiadomień o zagrożeniach w kraju podróży.
- Sprawdź, czy Twoje ubezpieczenie podróżne obejmuje również skutki katastrof naturalnych.
- Pamiętaj o zapisaniu numerów do lokalnych służb ratunkowych, ubezpieczyciela i ambasady.
- Na miejscu (np. w hotelu) sprawdź, gdzie znajdują się wyjścia ewakuacyjne oraz gdzie jest najbliższa otwarta przestrzeń.
- Jeśli podróżujesz z rodziną/przyjaciółmi ustalcie gdzie się spotkacie w przypadku wstrząsów podczas, których możecie zostać rozdzieleni.
- Wieczorem zostawiaj buty przy łóżku.
- Przygotuj plecak/torbę podręczną z zestawem ratunkowym (zobacz, co warto do niego włożyć na grafice poniżej).



Jadąc do obszaru zagrożonego trzęsieniami ziemi dobrze być przygotowanym na ewentualne wstrząsy. Poniższa grafika pokazuje, jak zachować się podczas ich wystąpienia. Ważne jest, aby wiedzieć, jak postępować w różnych przypadkach. Na grafice zostały pokazane sposoby zachowania w sytuacji, kiedy znajdujemy się w środku budynku oraz gdy przebywamy na zewnątrz.



Wstrząsy ustały, co robić dalej? Przede wszystkim postaraj się zachować spokój i sprawdź, czy nie masz żadnych obrażeń. Po drugie **słuchaj komunikatów** lokalnych władz oraz służb ratunkowych i **postępuj zgodnie z ich instrukcjami**.

Zadbaj o swoje **bezpieczeństwo**:

- odetnij wodę, elektryczność i gaz,
- opuść jak najszybciej uszkodzony budynek, jeśli się w takim znajdujesz,
- nie wchodź do zniszczonych budynków,
- skorzystaj ze schodów zamiast windy,
- nie dotykaj przewodów elektrycznych,
- zachowaj bezpieczną odległość od wszystkiego, co może się zawalić,
- załóż obuwie, aby ochronić się przed potłuczonymi przedmiotami.

W przypadku uwięzienia (np. w budynku) wyślij wiadomość, uderzaj w rurę lub ścianę, a jeśli możesz użyj gwizdka zamiast krzyczeć. Takie postępowanie pomoże Cię zlokalizować i jak najszybciej udzielić potrzebnej pomocy.

Zapamiętaj! Jeśli znajdujesz się na wybrzeżu i jest to region, gdzie występują fale tsunami, po ustaniu wstrząsów udaj się w głąb lądu lub na wyższy teren. Nie podchodź do linii brzegowej! Warto być również świadomym, że mogą nastąpić kolejne wstrząsy.

LISTA ZAŁĄCZNIKÓW

Załącznik 1 – Lokalizacja wstrząsów sejsmicznych zarejestrowanych w sieci PSG_Sejs_NET na obszarze Polski w okresie od 01/10/2026 r. do 31/10/2026 r. – na mapie prezentowane są wstrząsy z bieżącego miesiąca.

Załącznik 2 – Lokalizacja wstrząsów sejsmicznych zarejestrowanych w sieci PSG_Sejs_NET na obszarze Polski w okresie od 01/01/2025 r. do 31/10/2026 r. – na mapie prezentowane są wstrząsy od początku trwania V etapu projektu Monitoring Geodynamiczny Polski (MGP-V) tj. od dnia 01/01/2025 r.

Załącznik 3 – Lokalizacja wstrząsów sejsmicznych zarejestrowanych w bazie EMSC na obszarze Europy i obszarach przyległych (w granicach mapy podstawowej) w okresie od 01/10/2026 r. do 31/10/2026 r.

Załącznik 4 – Lokalizacja wstrząsów sejsmicznych zarejestrowanych w bazie EMSC na obszarze świata w okresie od 01/10/2026 r. do 31/10/2026 r.